



PERÚ

Ministerio  
de la Producción



IMARPE  
INSTITUTO DEL MAR DEL PERÚ

# BOLETÍN SEMANAL OCEANOGRÁFICO Y BIOLÓGICO-PESQUERO

Año 10, N° 34

Semana 34: 18 - 24 de agosto de 2025

## RESUMEN

- La anomalía promedio de la temperatura superficial del mar (TSM), con respecto a la semana anterior, descendió 0,02 °C en la región Niño 3.4 (-0,35 °C) y 0,45 °C en la Región Niño 1+2 (+0,22 °C), de acuerdo al producto OSTIA.
- La variación del nivel del mar en el sector ecuatorial indicó la propagación de una onda Kelvin cálida hasta los 110°W.
- Las aguas con TSM < 20 °C ampliaron su cobertura desde la costa norte hacia el noroeste, alcanzando los 84°W y generando una disminución de la TSM en hasta 2,5 °C (Punta Sal), así como el repliegue de las AES hacia el norte de Cabo Blanco. Frente a Punta Falsa, las aguas de 20 °C se replegaron hacia el oeste en 40 mn, determinando la declinación del calentamiento frente a este sector. Estas condiciones fueron favorecidas por la fuerte intensificación de los vientos durante la semana.
- El modelo MERCATOR, al sur de Punta Falsa, indicó el leve repliegue de las ASS hacia el oeste y el afloramiento de aguas costeras dentro de la franja de 60 mn, predominando condiciones térmicas dentro del rango neutro.
- La información *in situ* indicó un calentamiento térmico sobre los 50 m, presentando anomalías entre +1 °C y +1,5 °C por fuera de las 20~25 mn del sector entre Callao-Bahía Independencia y de hasta +2,8 °C (65 m) a 42 mn frente a Huacho; asociadas al acercamiento de las ASS. En sectores costeros, se evidenciaron focos de afloramiento frente al Callao y Pisco con valores de oxígeno menores de 4 mL/L y temperaturas menores de 16 °C. Debajo de los 100 m se detectaron temperaturas menores de 16 °C y valores térmicos y halinos en el rango normal.

## PRONÓSTICO

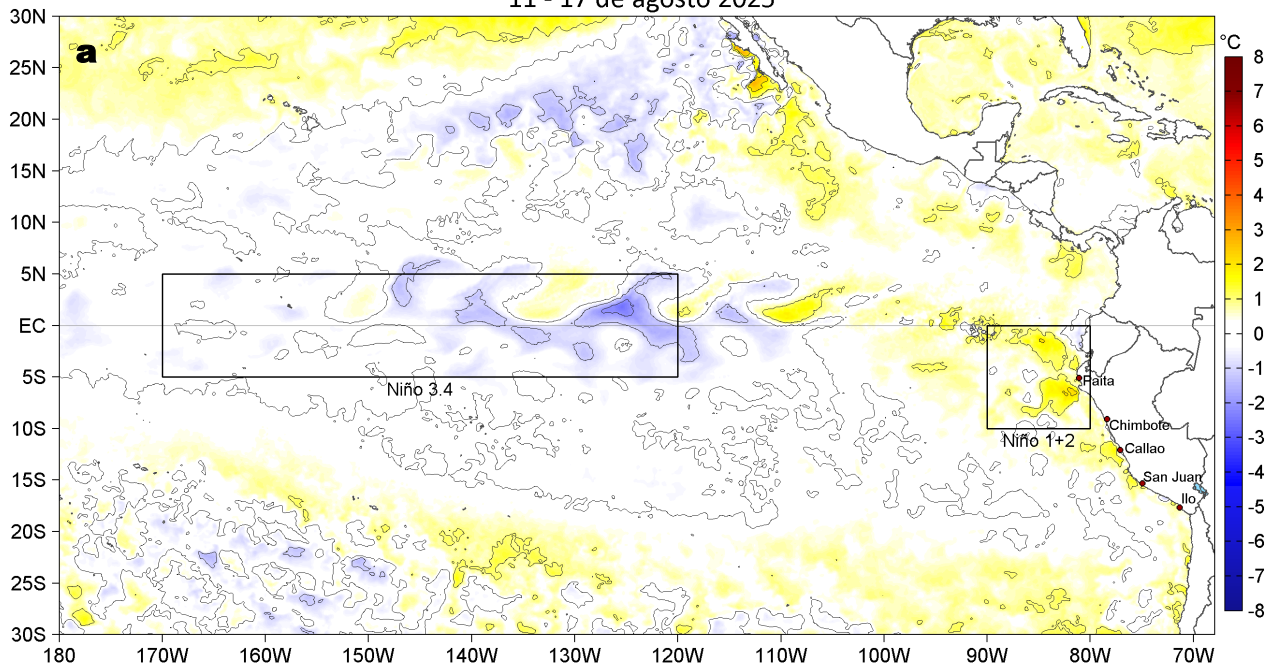
- Del 29 al 31 de agosto, entre Máncora y Atico, la velocidad del viento (VV) variaría principalmente entre el rango fuerte y muy fuerte en el sector oceánico y la costa centra. Asimismo se espera el desarrollo de anomalías positivas (> +1,0 m/s) de VV de fuerte intensidad a partir del 29 de agosto frente a la costa centro y sur.

Callao, lunes 25 de agosto del 2025

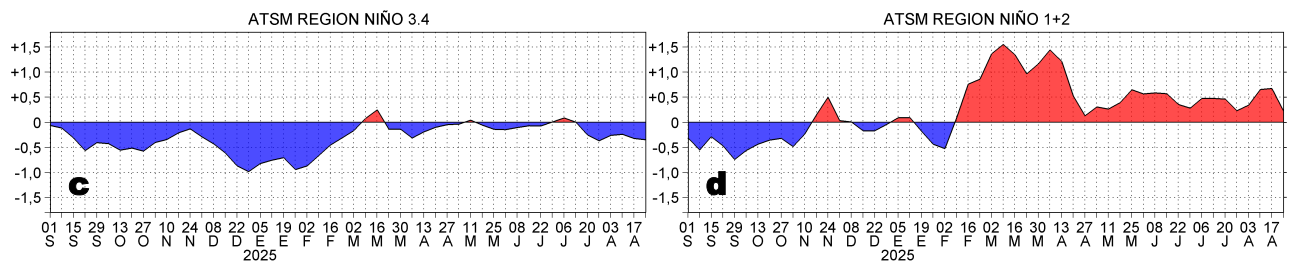
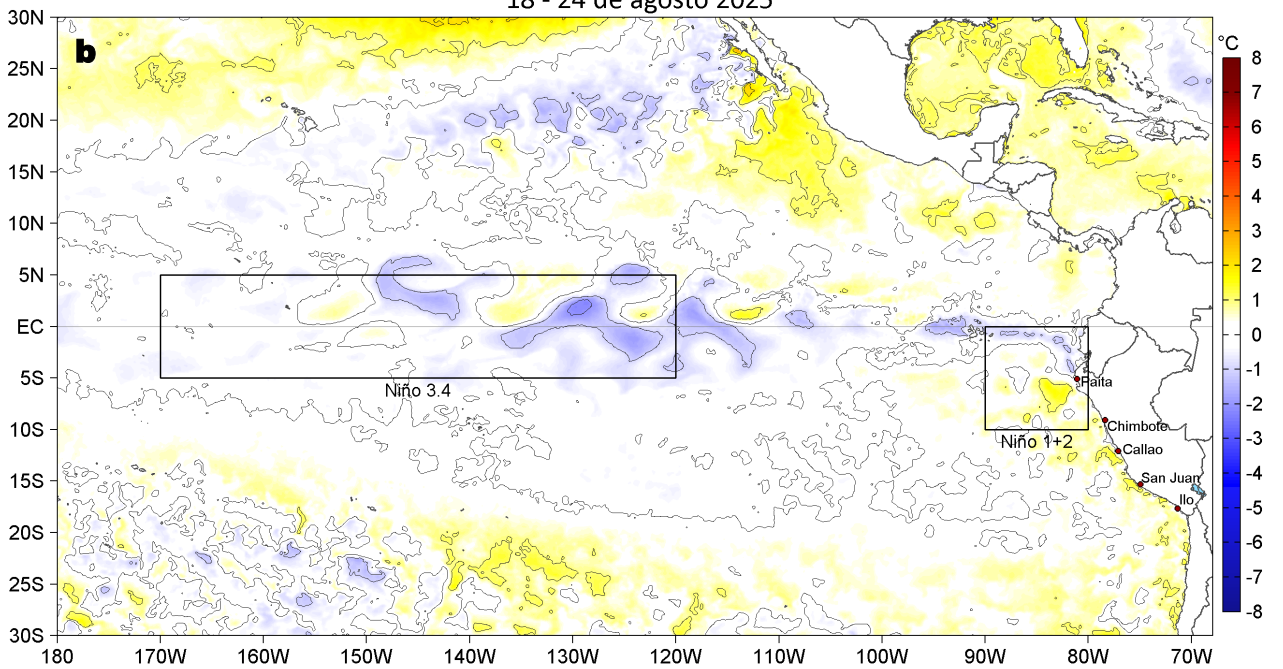
Servicio de Información Oceanográfica del Fenómeno El Niño (SIOFEN)  
Dirección General de Investigaciones en Oceanografía y Cambio Climático (DGIACC) y  
Dirección General de Investigaciones de Recursos Pelágicos (DGIRP)  
Instituto del Mar del Perú (IMARPE)

# I. CONDICIONES DE MACROESCALA

Anomalías de la Temperatura Superficial del Mar (°C)  
11 - 17 de agosto 2025

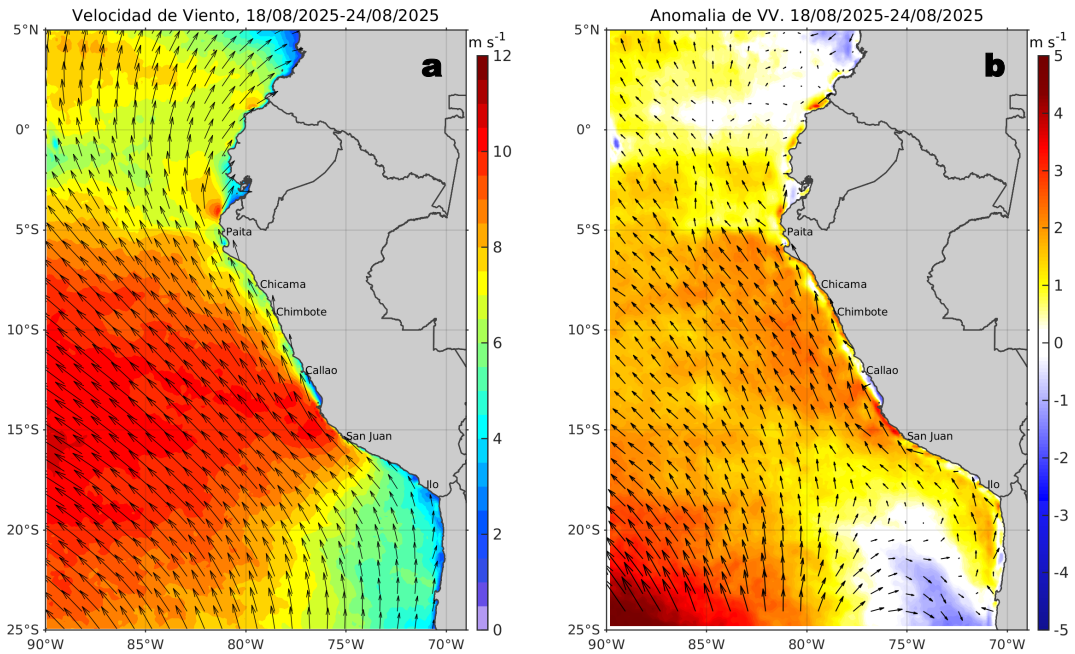


Anomalías de la Temperatura Superficial del Mar (°C)  
18 - 24 de agosto 2025



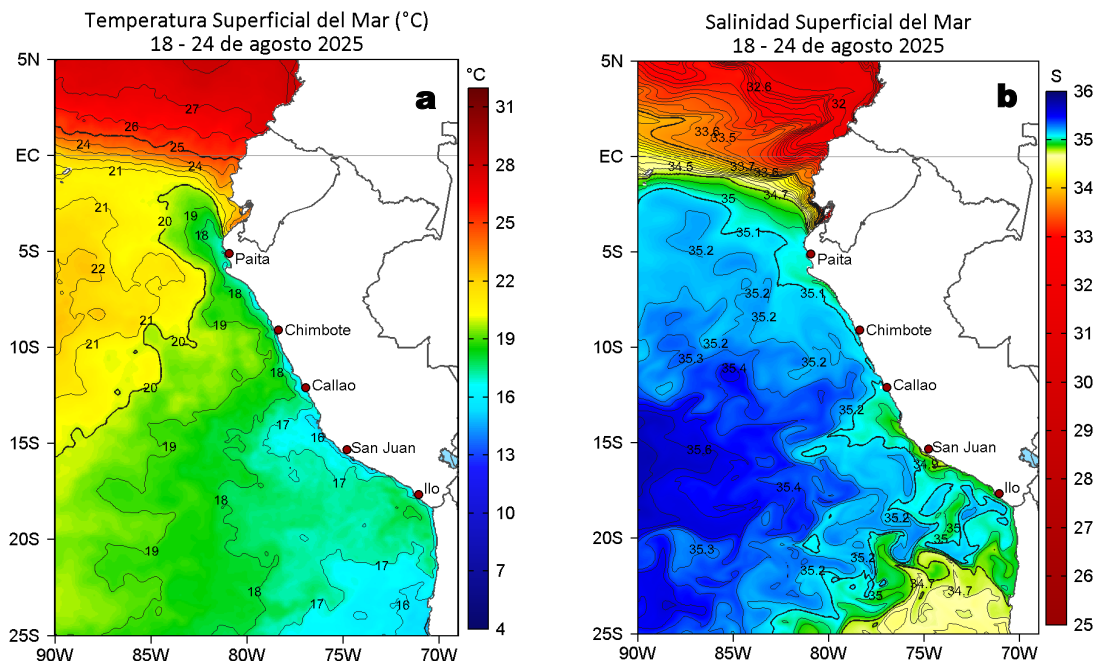
**Figura 1.** Anomalías promedio de la temperatura superficial del mar (TSM, °C) en el océano Pacífico tropical del 11 al 17 de agosto (a) y del 18 al 24 de agosto (b) del 2025, así como la variación del promedio semanal durante el último año para la región Niño 3.4 (c) y la región Niño 1+2 (d). Las regiones Niño 3.4 y Niño 1+2 en los sectores central y oriental del océano, respectivamente, están delimitadas con una línea de color gris. Datos: OSTIA-UKMO-L4-GLOB-v2.0 (UK Met Office, 2012; Donlon et al, 2012). Climatología: 1991-2020.

## II. CONDICIONES DE MESOESCALA



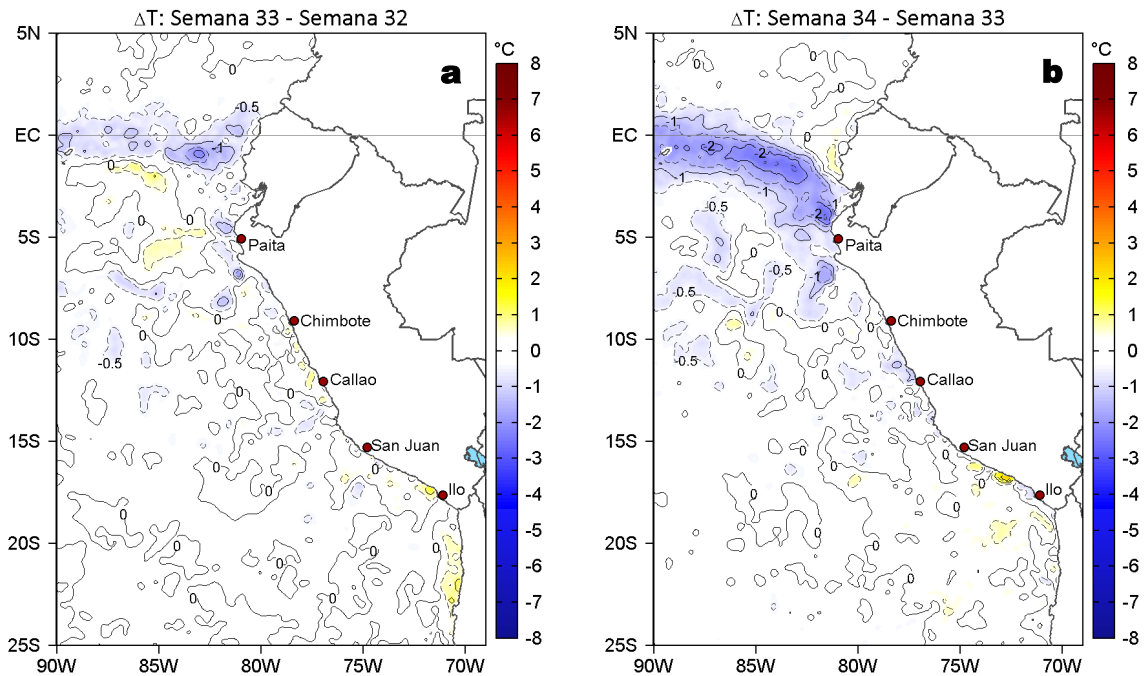
**Figura 2.** Distribución espacial promedio de: a) la velocidad (m/s) y dirección del viento ( $^{\circ}$ ) y b) anomalías de la velocidad (m/s) y dirección del viento ( $^{\circ}$ ) frente a la costa peruana del 18 al 24 de agosto del 2025. La velocidad del viento y su anomalía se presentan en matices de colores a la derecha. La dirección del viento y su anomalía se presentan con flechas. Fuente de los datos: CMEMS. Climatología: 2000-2020.

Entre Máncora y Atico, la velocidad del viento (VV) se mantuvo principalmente en el rango fuerte (6,8 a 10,4 m/s) en el sector oceánico y frente a la costa central; al norte de Máncora, al sur de Atico y en la franja bien costera se mantuvo en el rango débil (0,7 a 4,1 m/s) a moderado (4,1 a 6,8 m/s). Asimismo, al sur de Máncora, predominaron anomalías positivas de la VV especialmente intensas en la costa centro-sur.



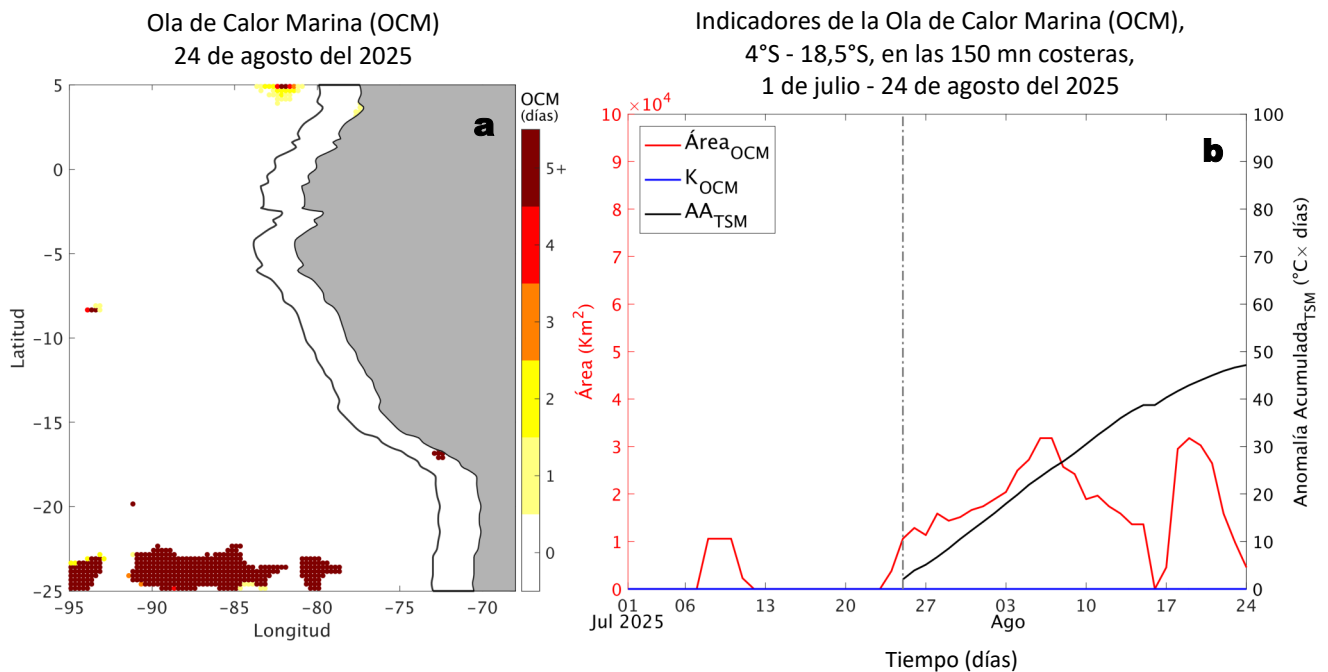
**Figura 3.** Distribución espacial promedio de la: a) Temperatura superficial del Mar (TSM,  $^{\circ}$ C) y b) Salinidad superficial del mar (SSM) del 18 al 24 de agosto del 2025. Datos: OSTIA-UKMO-L4-GLOB-v2.0 (UK Met Office, 2012; Donlon et al, 2012) para (a) y del GLOBAL\_ANALYSISFORECAST\_PHY\_001\_024 (Lellouche, J. M. et al, 2013) para (b).

La TSM en la franja adyacente al litoral peruano varió entre 23,9  $^{\circ}$ C (Tumbes) y 14,6  $^{\circ}$ C (Camaná). Las aguas con TSM menor a 20  $^{\circ}$ C frente a la costa norte se proyectaron hacia el noroeste ampliando su cobertura hasta los 84 $^{\circ}$ W. Frente a Punta Falsa, destacó el repliegue de las aguas de 20  $^{\circ}$ C hacia el oeste en 40 mn, determinado la declinación del calentamiento frente a este sector (Figura 3a y 1). De acuerdo al modelo Mercator (Figura 3b), las Aguas Ecuatoriales Superficiales (AES; 34,0<SSM<34,8) se replegaron hacia el norte, ubicándose al norte de Cabo Blanco. Las Aguas Subtropicales Superficiales (ASS; SSM>35,1) se replegaron levemente hacia el oeste, manteniendo su mayor acercamiento frente a Huacho, así como amplias zonas de mezcla con las ACF (aguas costeras frías; 34,8<SSM<35,1).



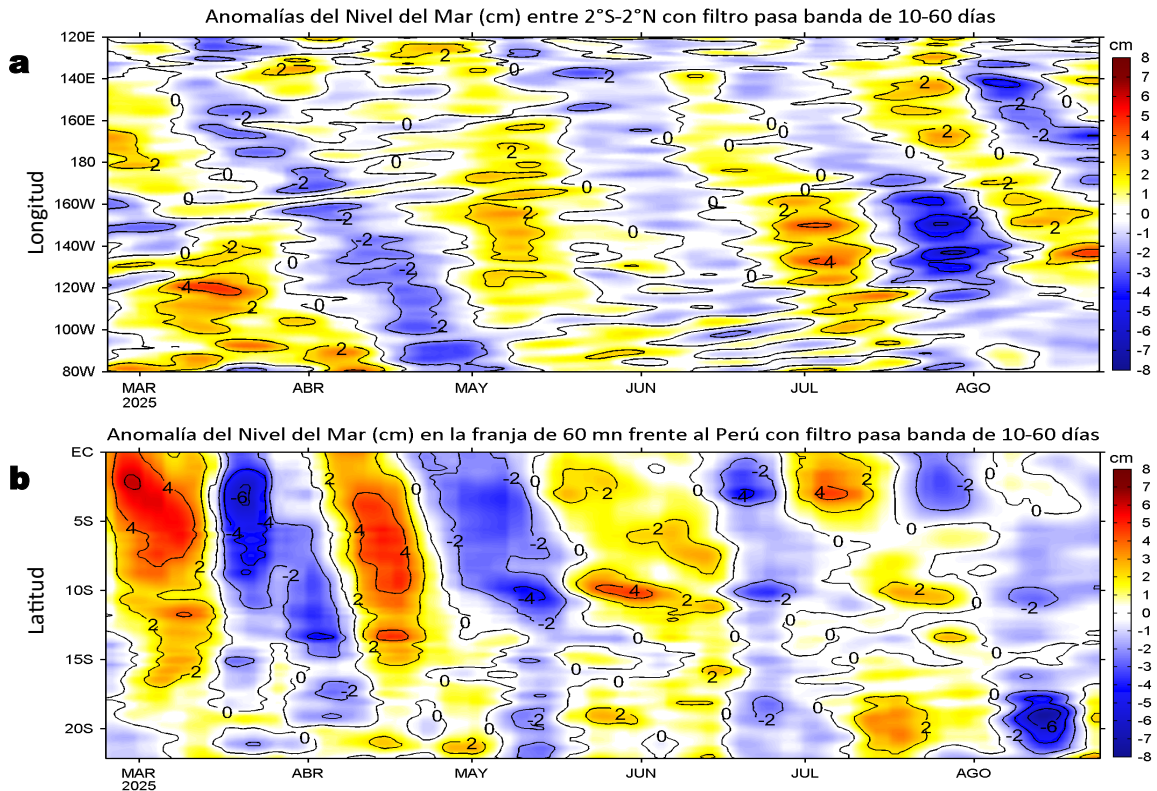
**Figura 4.** Variación semanal de la TSM ( $^{\circ}\text{C}$ ) en el océano Pacífico tropical oriental entre: a) trigésima tercera (11 - 17 de agosto) y trigésima segunda (04 - 10 de agosto) semana del 2025 y b) trigésima cuarta (18 - 24 de agosto) y trigésima tercera (11 - 17 de agosto) semana del 2025. Los mapas, que indican el grado de calentamiento o enfriamiento de una semana a otra, provienen de OSTIA-UKMO-L4-GLOB-v2.0 (UK Met Office, 2012; Donlon et al, 2012).

Con respecto a la semana anterior (Figura 4b), la TSM en el sector costero al sur de Isla Lobos de Tierra no presentó cambios significativos, mientras que, hacia el norte destacaron núcleos de disminución distribuidos hacia el sector ecuatorial con una intensidad de hasta  $2,5^{\circ}\text{C}$  frente a Punta Sal.



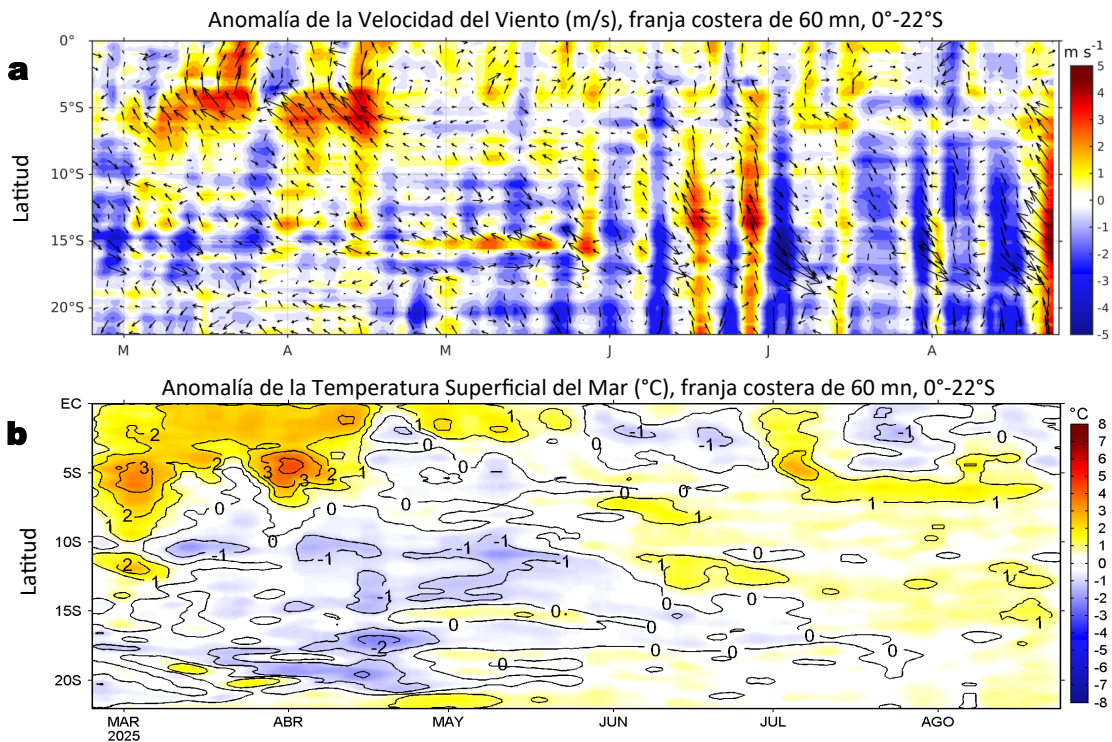
**Figura 5.** a) Distribución espacial de la cobertura de la ola de calor marina (OCM, Hobday et al., 2016) entre los  $5^{\circ}\text{N}$  y  $25^{\circ}\text{S}$ , y  $70^{\circ}\text{W}$  y  $95^{\circ}\text{W}$  para el 24 de agosto del 2025; la línea paralela a la costa demarca la distancia de 150 mn y la escala de color indica el número de días en los cuales la TSM supera el percentil 90 de los datos diarios históricos, usando el período 1982-2011 como referencia (Pietri et al., 2021). b) Series de tiempo de los indicadores de OCM para la zona entre los  $4^{\circ}\text{S}$  y  $18,5^{\circ}\text{S}$  dentro de las 150 mn costeras: área en condición de OCM ( $\text{Área}_{\text{OCM}}$ ,  $\text{Km}^2$ ; rojo); área en condición de OCM donde la  $\text{ATSM} > +4^{\circ}\text{C}$  ( $K_{\text{OCM}}$ ,  $\text{Km}^2$ ; azul); y anomalía térmica acumulada en el área ( $\text{AA}_{\text{TSM}}$ ,  $^{\circ}\text{C} \times \text{días}$ ; negro). Al 23 de agosto, la OCM alcanzó una duración de 30 días y una anomalía acumulada de  $46,65^{\circ}\text{C} \times \text{días}$ . Fuente: OISST 2.1.

Durante la última semana, en la franja de 150 mn costeras de la costa peruana entre los  $4$  y  $18,5^{\circ}\text{S}$ , la ola de calor marina (OCM) frente a la costa central tendió a disiparse después del 21 de agosto; en tanto, frente a la costa sur se observó la reducción del núcleo de calentamiento al 24 de agosto, compatible con la finalización de la OCM en los próximos días.



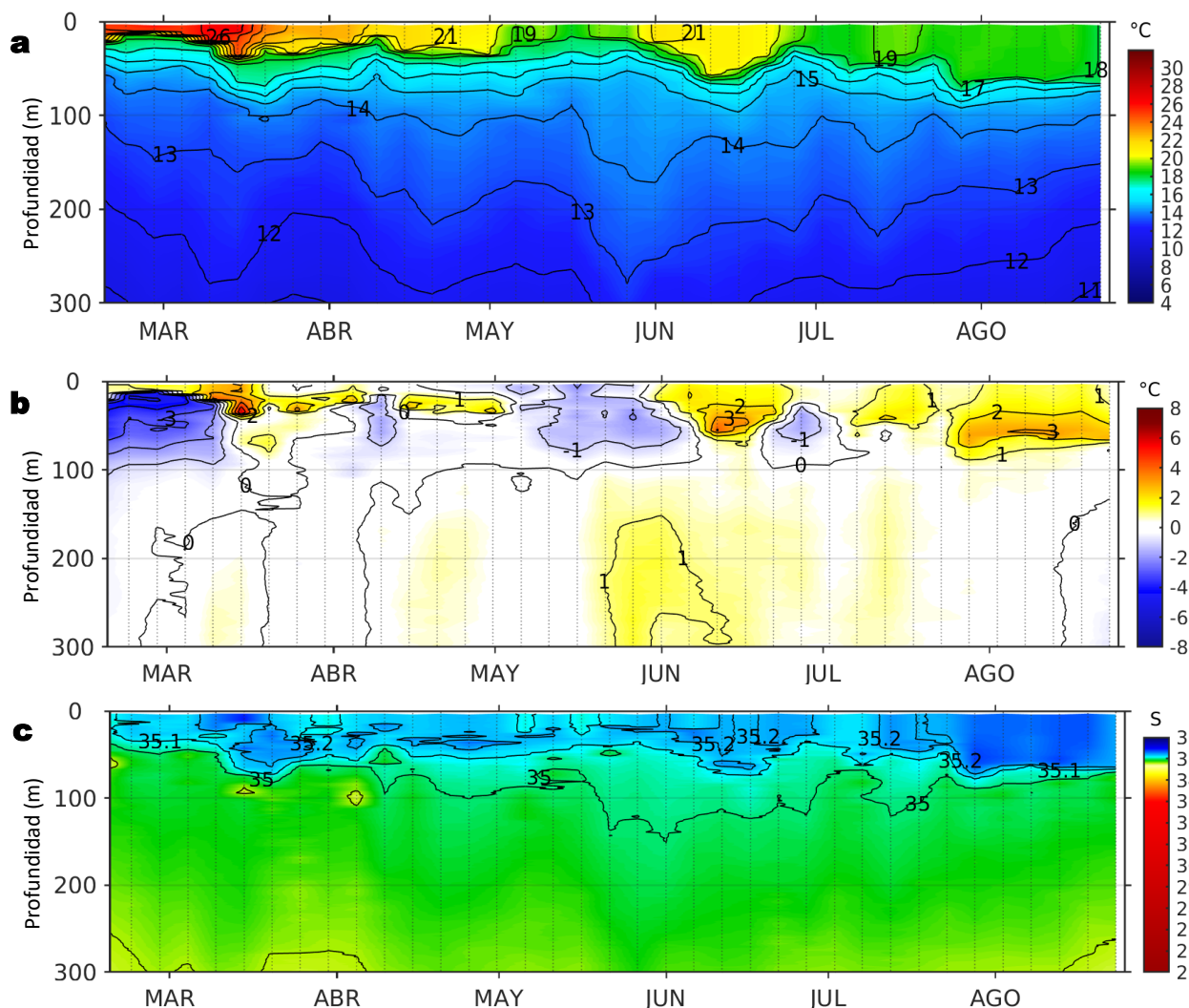
**Figura 6.** Anomalías diarias del nivel del mar (cm) con filtro pasa banda de 10-60 días para: a) la franja de 2°S-2°N en el Pacífico ecuatorial y b) la franja de 60 mn adyacente a la costa entre el ecuador geográfico y 22°S, actualizado al 24 de agosto del 2025. Datos: CMEMS-DUACS. Climatología: 1993-2020.

En la franja costera, las anomalías de nivel del mar (ANM) filtradas negativas de leve intensidad reaparecieron frente a la costa norte, predominando también en gran parte de la costa peruana. En el Pacífico ecuatorial, las ANM filtradas positivas asociadas a la propagación de una OK cálida, se mantuvieron hasta los 110°W con su mayor intensidad alrededor de los 135°W.



**Figura 7.** Evolución de las anomalías diarias de: a) Velocidad del viento (m/s) y b) TSM (°C) de febrero al 24 de agosto del 2025. Datos: CMEMS para (a) y OSTIA-UKMO-L4-GLOB-v2.0 para (b). Las anomalías fueron calculadas para una franja de 60 mn adyacente a la costa entre el ecuador geográfico y 20°S para (a) y 22°S para (b), según los promedios diarios de 2000-2020 para (a) y de 1991-2020 para (b). La barra de colores a la derecha muestra la escala de las anomalías en cada caso.

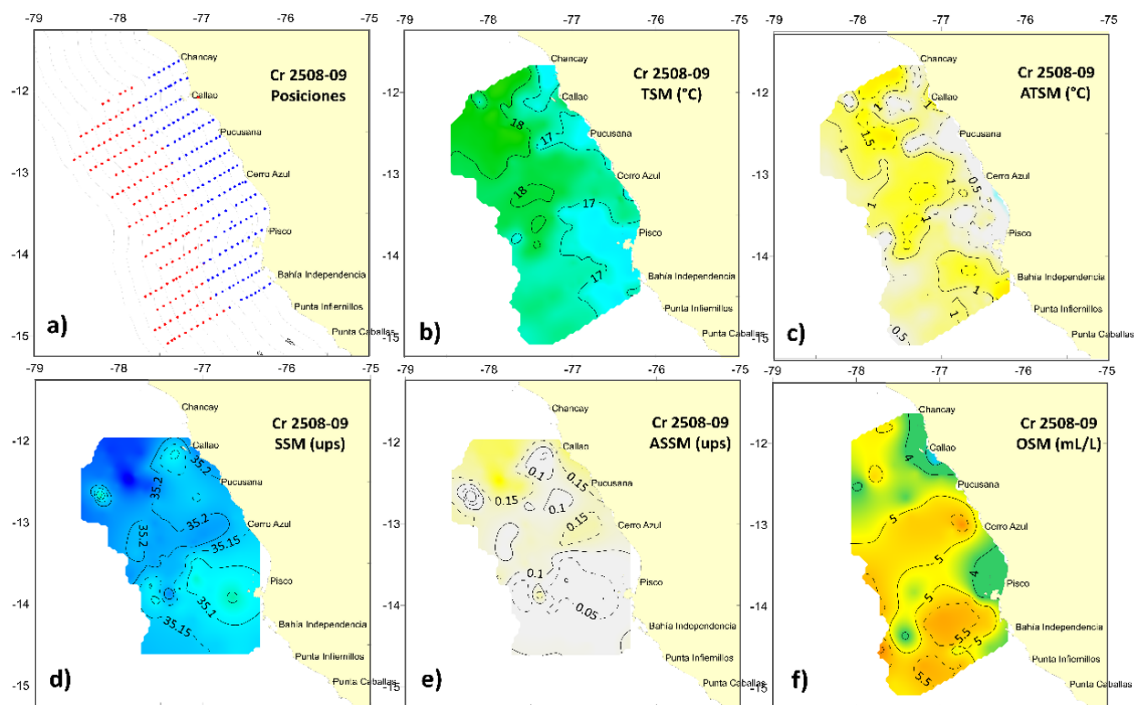
En la franja costera, al sur de Máncora se registraron anomalías en el rango neutro o positivas de la velocidad del viento (VV) durante los primeros días de la semana, mientras que durante la segunda parte de la semana predominaron intensas anomalías positivas (Figura 7a). Condiciones que favorecieron a la declinación del calentamiento térmico frente a la costa norte y entre Huacho y San Juan de Marcona, predominando condiciones neutras (Figura 7b).



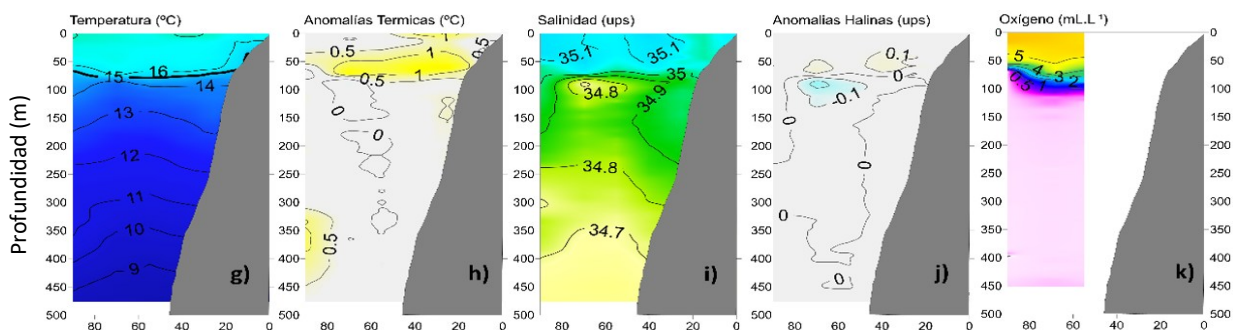
**Figura 8.** Diagrama Hovmöller de: a) Temperatura del mar (°C), b) Anomalías térmicas (°C) y c) Salinidad del mar registrados por el perfilador ARGO No. 3903004, a 42 mn (11,82°S y 78,04°W) frente a Huacho el día 23 de agosto 2025. Las anomalías térmicas se calcularon de acuerdo a Domínguez et al (2023). Los puntos en la columna de agua indican los días en que el perfilador registró información. Datos: ARGO.

A 42 mn frente a Huacho el día 23 de agosto, registró una TSM de 17,9 °C, anomalía de +0,7 °C, y una salinidad de 35,22. En la columna de agua se observaron anomalías entre +0,5 °C y +2,8 °C (a 65 m) entre la superficie y los 73 m.

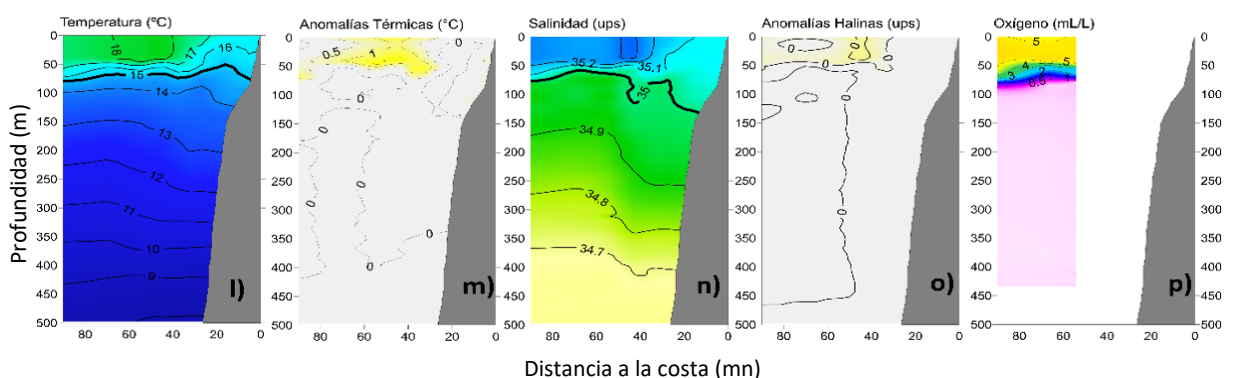
## IIA. CONDICIONES REGISTRADAS EN MONITOREO BIO-OCEANOGRÁFICO



Sección: Pisco (17 de agosto, 2025)  
Embarcación: BIC Humboldt



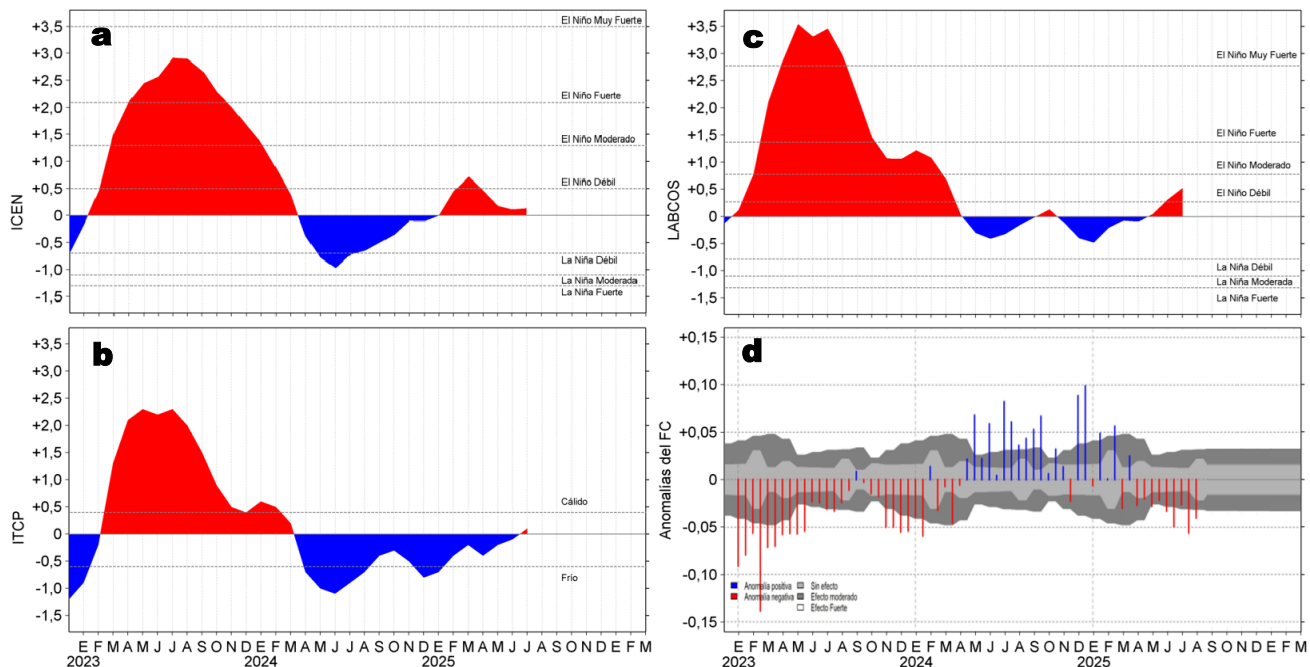
Sección: Callao (20-21 de agosto, 2025)  
Embarcación: BIC Humboldt



**Figura 9.** Distribución a nivel superficial de la b) temperatura (°C), c) anomalías térmicas (°C), d) salinidad, e) anomalías halinas y f) oxígeno (mL/L), así como la estructura vertical de la: g, l) temperatura (°C), h, m) anomalías térmicas (°C), i, n) salinidad, j, o) anomalías halinas, y k, p) oxígeno (mL/L); registradas durante el “Crucero de Método de Producción de Huevos MPH 2508-09”, entre el 16 y 23 de agosto de 2025. Las anomalías se calcularon de acuerdo a Domínguez et al (2023).

La información *in situ* registrada por el IMARPE durante la última semana, entre Bahía Independencia y Callao, indicó un ligero calentamiento con anomalías entre +1 °C y +1,5 °C por fuera de las 20~25 mn de costa y sobre los 50 m, asociados a un acercamiento de las ASS, principalmente entre Cerro Azul y Callao. La distribución de oxígeno disuelto evidenció focos de afloramiento frente al Callao y Pisco con valores menores a 4 mL/L asociados a TSM menores de 16 °C. (Figura 9 b-f). Sobre los 50 m por fuera de las 20~25 mn de Pisco y Callao se presentaron ASS con anomalías positivas de hasta +1 °C, mientras que hacia la costa las aguas frías <16 °C afloraban. Debajo de los 100 m se hallaron valores menores de 14 °C y anomalías térmicas y halinas en el rango neutro (Figura 9 g-p).

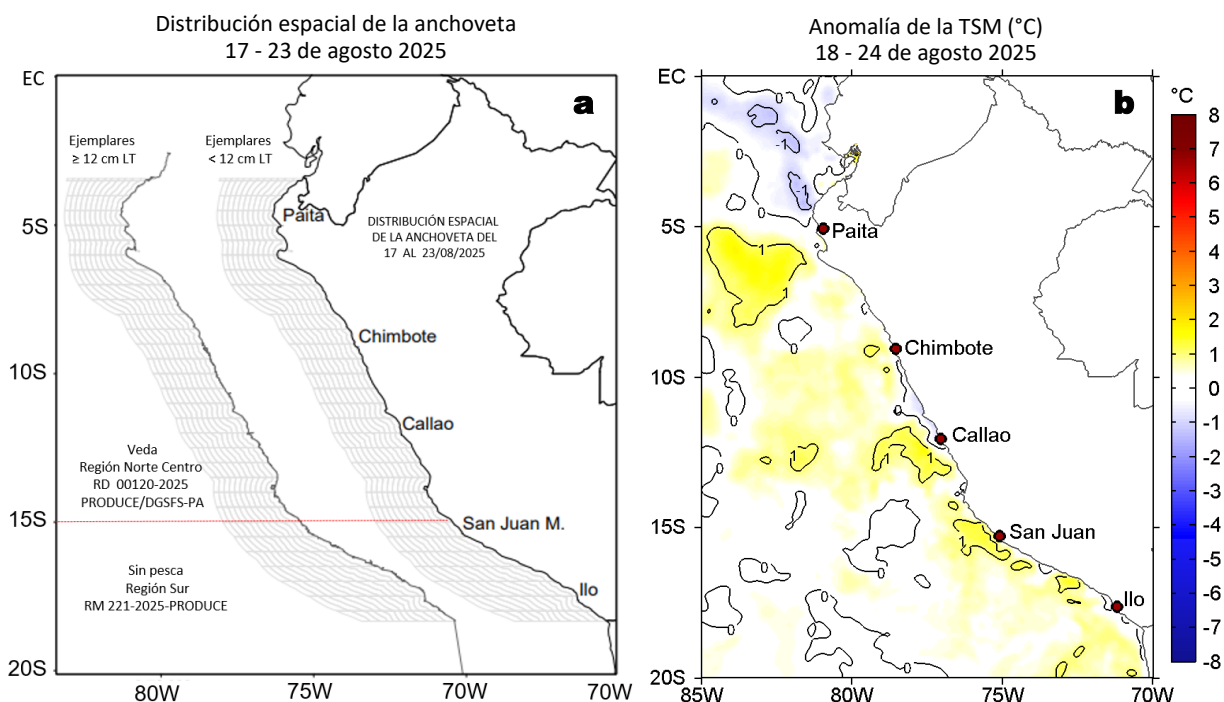
### III. ÍNDICES CLIMÁTICOS Y BIOLÓGICO-PESQUERO



**Figura 10.** Series de tiempo de: a) Índice Costero El Niño (ICEN; ENFEN, 2024), b) Índice Térmico Costero Peruano (ITCP; Quispe et al., 2016), c) Índice de Laboratorios Costeros (LABCOS; Quispe y Vásquez, 2015) y d) Anomalías del índice del factor de condición (AFC) de la anchoveta peruana *Engraulis ringens* (Cuba et al., 2019) desde diciembre 2022 hasta agosto del 2025.

El valor temporal del ICEN (ENFEN, 2025) para julio de 2025 alcanzó +0,13, manteniéndose en una condición neutra (Figura 10a). Con respecto a la condición somática de la anchoveta *Engraulis ringens*, en lo que va de agosto, la anomalía del factor de condición presentó un valor negativo de efecto fuerte (Figura 10d).

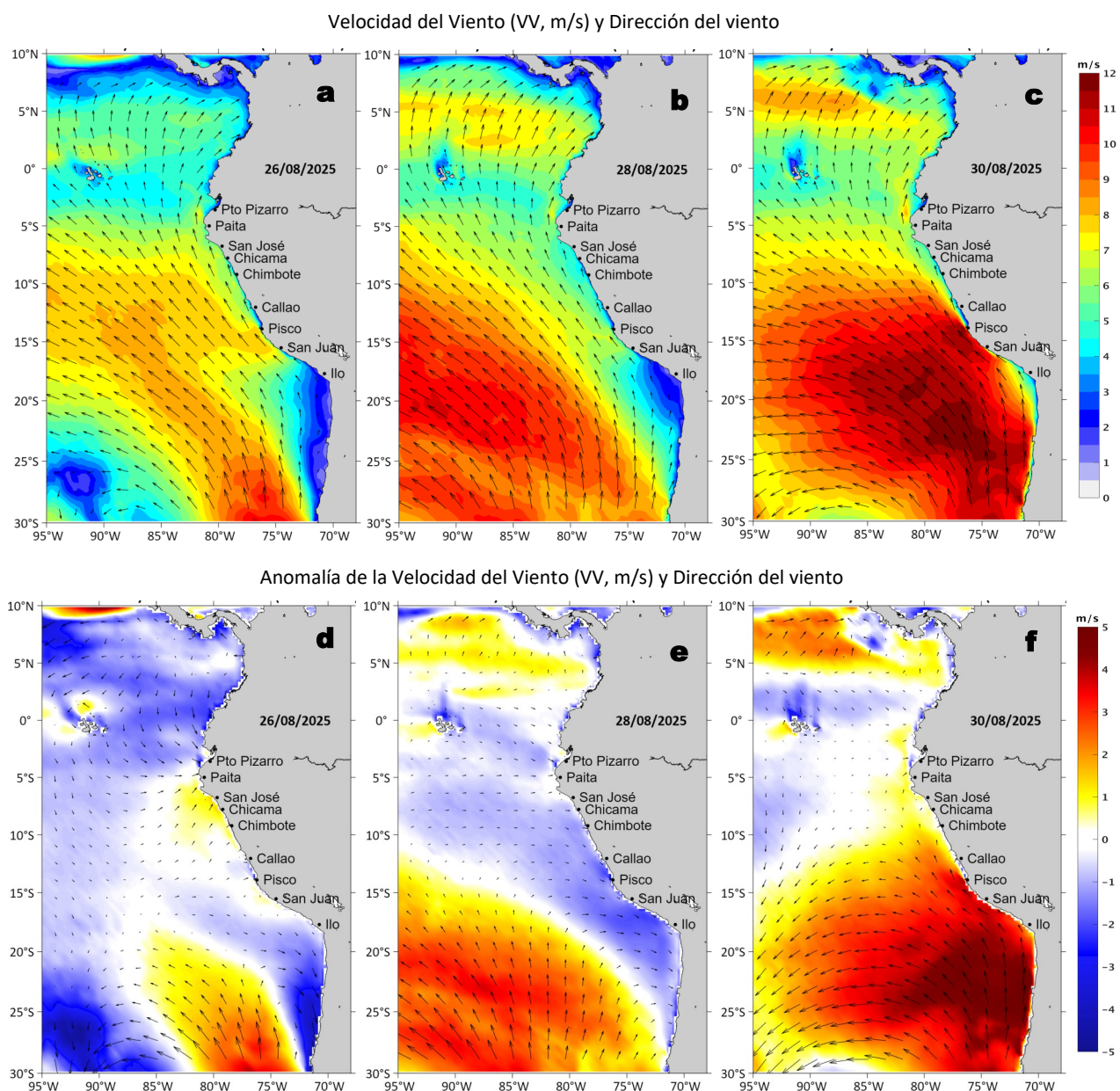
### IV. ASPECTOS BIOLÓGICO-PESQUEROS



**Figura 11.** a) Distribución de la anchoveta según porcentaje de juveniles por región y su relación con b) las anomalías térmicas (°C) para la semana del 18 al 24 de agosto de 2025. Datos: OSTIA-UKMO-L4-GLOB-v2.0 (UK Met Office, 2012; Donlon et al, 2012). Las anomalías térmicas se calcularon con respecto de la climatología para el período 1991-2020.

Durante la presente semana, la región Norte-Centro no registró actividad pesquera debido al cierre de la primera temporada. En la región Sur no se registró actividad pesquera (Figura 11a).

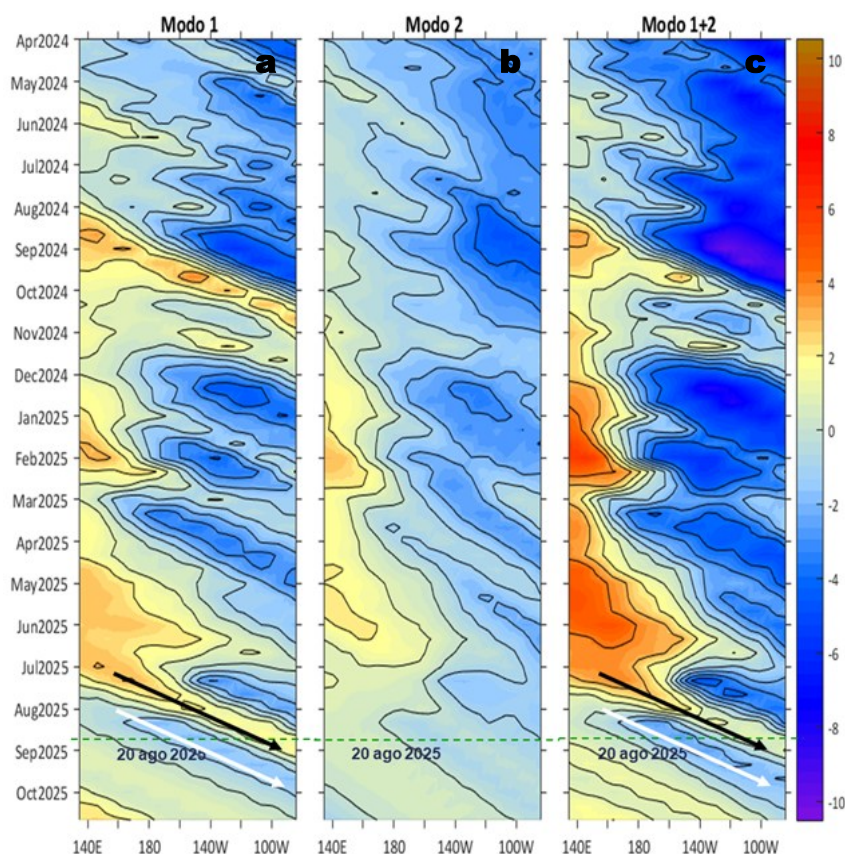
## V. PRONÓSTICO



**Figura 12.** Distribución espacial del pronóstico de la velocidad del viento (VV, m/s) y dirección del viento ( $^{\circ}$ ), así como para sus anomalías para los días a) 26, b) 28 y c) 30 de agosto de 2025, frente a la costa sudamericana entre Centroamérica y la costa norte de Chile. Fuente: Modelo Climate Forecast System (GFS) de la NOAA. Climatología: 2000-2020.

Hasta el 31 de agosto, entre Máncora y Atico, la VV cambiaría del rango moderado a fuerte al rango fuerte y muy fuerte en el sector oceánico y la costa central. Al norte de Máncora, al sur de Atico y en la franja muy costera continuarían VV moderadas a débiles hasta el día 28. Asimismo, se prevén anomalías negativas de la VV ( $< -1,0$  m/s) o valores en el rango neutro frente a la mayor parte de la costa los días 26 a 28, con excepción de San José el día 26 ( $> +1,0$  m/s), en tanto que se espera anomalías positivas de la VV frente a las costas centro y sur los días 29, 30 y 31.

Condiciones iniciales: 11-20 de agosto, 2025



**Figura 13.** Diagramas Hovmöller longitud-tiempo de las ondas Kelvin ecuatoriales (OKE) en el océano Pacífico ecuatorial entre 130°E y 95°W y en la banda entre 1°N-1°S, forzado con anomalías del esfuerzo del viento ( $N/m^2$ ) del NCEP (Kalnay et al., 1996) de acuerdo con la metodología de Illig et al. (2004) y Dewitte et al. (2002): a) Modo 1, b) Modo 2 y c) Modos 1+2. La línea discontinua horizontal de color verde indica la fecha del inicio del pronóstico con anomalías del esfuerzo del viento igual a cero. Los valores negativos corresponden a ondas Kelvin de afloramiento (frías) y están representadas por flechas discontinuas de color blanco. Los valores positivos corresponden a ondas Kelvin de hundimiento (cálidas) cuya propagación está representada por flechas de color negro sólido (modo 1) y discontinuo (modo 2). Datos del modelo: LMOECC/AFIOF/DGIOCC/IMARPE.

La última simulación del modelo de ondas Kelvin ecuatoriales (OKE) implementado en el IMARPE, forzada con anomalías del esfuerzo del viento ecuatorial superficial obtenidas del NCEP al 20.08.2025, indica que la OKE cálida (modo 1), mencionada en el BS OBP N°29-2025, continúa propagándose hacia el este y se espera que llegue al extremo oriental del Pacífico ecuatorial en setiembre. La OKE fría (modo 1), mencionada en el BS OBP N°32-2025, también mantiene su propagación hacia el este y podría llegar al extremo oriental del Pacífico ecuatorial entre setiembre y octubre.

## RECONOCIMIENTOS

The Group for High Resolution Sea Surface Temperature (GHRSSST) Multi-scale Ultra-high Resolution (MUR) Level 4 OSTIA Global Foundation Sea Surface Temperature Analysis (GDS version 2). Ver. 2.0 data were obtained from the NASA EOSDIS Physical Oceanography Distributed Active Archive Center (PO.DAAC) at the Jet Propulsion Laboratory, Pasadena, CA (<http://dx.doi.org/10.5067/GHGMR-4FJ01>).

IFREMER/CERSAT. 2005. ERS-1 Level 3 Gridded Mean Wind Fields (IFREMER). Ver.1.PO.DAAC, CA, USA (<ftp://anonymous@ftp.ifremer.fr/ifremer/cersat/products/gridded/mwf-ers1>).

The Ssalto/Duacs altimeter products were produced and distributed by the Copernicus Marine and Environment Monitoring Service (CMEMS) (<https://data.marine.copernicus.eu/products>).

The products from the MERCATOR OCEAN system distributed through the Marine Copernicus Service (<https://data.marine.copernicus.eu/products>).

The Pacific Islands Ocean Observing System (PacIOOS) is funded through the National Oceanic and Atmospheric Administration (NOAA) as a Regional Association within the U.S. Integrated Ocean Observing System (IOOS). PacIOOS is coordinated by the University of Hawaii School of Ocean and Earth Science and Technology (SOEST).

Las anomalías del índice de factor de condición fueron determinadas a partir de información brindada por el Laboratorio de Biología Reproductiva de la sede central de IMARPE.

Este boletín es una acción del Programa Presupuesto Por Resultados - PPR 068 El Niño "Reducción de Vulnerabilidad y Atención de Emergencias por Desastres" y su producto "Entidades Informadas en forma permanente y con pronósticos frente al Fenómeno El Niño" del IMARPE.

## REFERENCIAS

- Cuba, A., Sánchez, J., Mori, J., & Chávez, G. (2019). Anomalías de los índices reproductivos fracción desovante e índice gonadosomático de anchoveta peruana *Engraulis ringens* (Jenyns, 1842) del stock norte-centro del Perú en relación a El Niño Costero 2017. *The Biologist*, 17(2).
- Dewitte B., D. Gushchina, Y. du Penhoat and S. Lakeev, 2002: On the importance of subsurface variability for ENSO simulation and prediction with intermediate coupled models of the Tropical Pacific: A case study for the 1997-1998 El Niño. *Geoph. Res. Lett.*, vol. 29, no. 14, 1666, 10.1029/2001GL014452.
- Donlon, C. J, M. Martin, J. Stark, J. Roberts-Jones, E. Fiedler, W. Wimmer, 2012. The Operational Sea Surface Temperature and Sea Ice Analysis (OSTIA) system. *Remote Sen. Env.*, 116, 140-158.
- ENFEN, 2024. Definición operacional de los eventos El Niño Costero y La Niña Costera en el Perú. Nota Técnica. <https://enfen.imarpe.gob.pe/download/nota-tecnica-enfen-01-2024-definicion-operacional-de-los-eventos-el-nino-costero-y-la-nina-costera-en-el-peru/?wpdmml=1905&ind=1733921744133>
- ENFEN, 2025. Informe Técnico ENFEN. Año 11, N° 10, 13 de agosto del 2025, 88 p. <https://enfen.imarpe.gob.pe/download/informe-tecnico-enfen-ano-11-n10-al-13-de-agosto-de-2025/?wpdmml=1957&refresh=68a04ba4e863b1755335588>
- Hobday, A. J., Alexander, L. V., Perkins, S. E., Smale, D. A., Straub, S. C., Oliver, E. C. J., ... Wernberg, T. (2016). A hierarchical approach to defining marine heatwaves. *Progress in Oceanography*, 141, 227–238. doi:10.1016/j.pocean.2015.12.014
- Illig, S., B. Dewitte, N. Ayoub, Y. du Penhoat, G. Reverdin, P. De Mey, F. Bonjean and G. S. E. Lagerloef, 2004: Interannual Long Equatorial Waves in the Tropical Atlantic from a High Resolution OGCM Experiment in 1981-2000, *Journal of Geophysical Research*, 109, C02022, doi:10.1029/2003jc001771.
- Kalnay, E., M. Kanamitsu, R. Kistler, W. Collins, D. Deaven, L. Gandin, M. Iredell, S. Saha, G. White, J. Woollen, Y. Zhu, A. Leetmaa, B. Reynolds, M. Chelliah, W. Ebisuzaki, W. Higgins, J. Janowiak, K. Mo, C. Ropelewski, J. Wang, R. Jenne, and D. Joseph, 1996: The NCEP/NCAR 40-Year Reanalysis Project. *Bull. Amer. Meteor. Soc.*, 77, 437–471.
- Kobayashi S, Ota Y, Harada Y, Ebata A, Moriya M, Onoda H, Onogi K, Kamahori H, Kobayashi C, Endo H, Miyaoka K, Takahashi K (2015) The JRA-55 reanalysis: general specifications and basic characteristics. *J Meteor Soc Jpn* 93: 5–48.
- Lellouche, J.-M., Le Galloudec, O., Drévilion, M., Régnier, C., Greiner, E., Garric, G., Ferry, N., Desportes, C., Testut, C.-E., Bricaud, C., Bourdallé-Badie, R., Tranchant, B., Benkiran, M., Drillet, Y., Daudin, A., and De Nicola, C.: Evaluation of global monitoring and forecasting systems at Mercator Océan, *Ocean Sci.*, 9, 57-81, 2013.
- Perea, A., B. Buitrón, J. Mori, J. Sánchez, C. Roque, 2015. Anomalías de los Índices reproductivos de anchoveta *Engraulis ringens* en relación al ambiente. En: *Boletín Trimestral Oceanográfico*, Volumen 1, Números 1-4, pp.: 27-28.
- Pietri, A., Colas, F., Mogollon, R., J. Tam & D. Gutierrez. Marine heatwaves in the Humboldt current system: from 5-day localized warming to year-long El Niños. *Sci Rep* 11, 21172 (2021). <https://doi.org/10.1038/s41598-021-00340-4>
- Quispe Ccallauri, C, J. Tam, H. Demarçq, C. Romero, D. Espinoza, A. Chamorro, J. Ramos, R. Oliveros, 2016. El Índice Térmico Costero Peruano. En: *Boletín Trimestral Oceanográfico*, Volumen 2, Número 1, pp: 7-11.
- Quispe-Ccalluari C, Tam J, Arellano C, Chamorro A, Espinoza-Morriberón D, Romero C, Ramos J. 2015. Desarrollo y aplicación de índices y simulaciones para la vigilancia y el pronóstico a mediano plazo del impacto del ENOS frente a la costa peruana. *Inf. Inst. Mar Perú*, Vol. 44(1):28-34. <https://biblioiimarpe.imarpe.gob.pe/handle/20.500.12958/3149>
- Quispe, J. y L. Vásquez, 2015. Índice “LABCOS” para la caracterización de evento El Niño y La Niña frente a la costa del Perú, 1976-2015. En: *Boletín Trimestral Oceanográfico*, Volumen 1, Números 1-4, pp.: 14-18.



El Boletín Semanal Oceanográfico y Biológico-Pesquero (BS-OBP) presenta la evolución de variables físicas en el océano y la atmósfera, de la estructura físico-química del océano frente a la costa norte-centro del Perú en un contexto temporal de corto plazo y en un marco local-regional. El objetivo del BSOBP es comprender los efectos de la variabilidad de macroescala y regional de corto plazo en las condiciones oceanográficas y biológico-pesqueras del mar peruano. Esta información se sustenta en las redes observacionales in situ que administra el IMARPE y que se ha fortalecido en el marco del Programa Presupuesto Por Resultados - PPR 068 El Niño “Reducción de Vulnerabilidad y Atención de Emergencias por Desastres” y su producto “Entidades Informadas en forma permanente y con pronósticos frente al Fenómeno El Niño” del Estado Peruano. Asimismo, esta información local se complementa con un repertorio de productos satelitales y con mediciones directas de equipamiento de programas y proyectos internacionales con el fin de lograr un análisis integrado del estado del océano. El BS-OBP, asimismo, pretende informar de forma oportuna y permanente sobre el estado del océano a diferentes grupos de interés y sociedad en general y contribuir a mejorar el conocimiento del mar peruano y coadyuvar a la gestión del riesgo de desastres del Estado Peruano.

Servicio de Información Oceanográfica del Fenómeno El Niño (SIOFEN)  
Instituto del Mar del Perú (IMARPE)



IMARPE (2025). Boletín Semanal Oceanográfico y Biológico-Pesquero N°34-2025, 18 - 24 de agosto de 2025, Callao, Instituto del Mar del Perú.

<https://siofen.imarpe.gob.pe/boletines-e-informes/BS-OBP>

**Colaboradores:** Katherine Vásquez, Dimitri Gutiérrez, Carlos Quispe, Tony Anculle, Daniel Camarena, Javier Sánchez, Dany Ulloa, Cecilia Peña, Carlos Salcedo, Jorge Quispe.

© 2025 Instituto del Mar del Perú

**Suscripciones:** Complete [este formulario](#) o escriba a [siofen@imarpe.gob.pe](mailto:siofen@imarpe.gob.pe).

### Consultas:

Servicio de Información Oceanográfica del Fenómeno El Niño, SIOFEN  
Laboratorio de Hidrofísica Marina/AFIOF  
Dirección General de Investigaciones Oceanográficas y Cambio Climático  
Instituto del Mar del Perú  
Esquina Gamarra y General Valle S/N, Chucuito, Callao - Perú.  
Correo electrónico: [siofen@imarpe.gob.pe](mailto:siofen@imarpe.gob.pe).  
Teléfono: (51 1) 208 8650 (Extensión 824).

**Foto en la portada:** Mar peruano (© M. Sarmiento/IMARPE).